

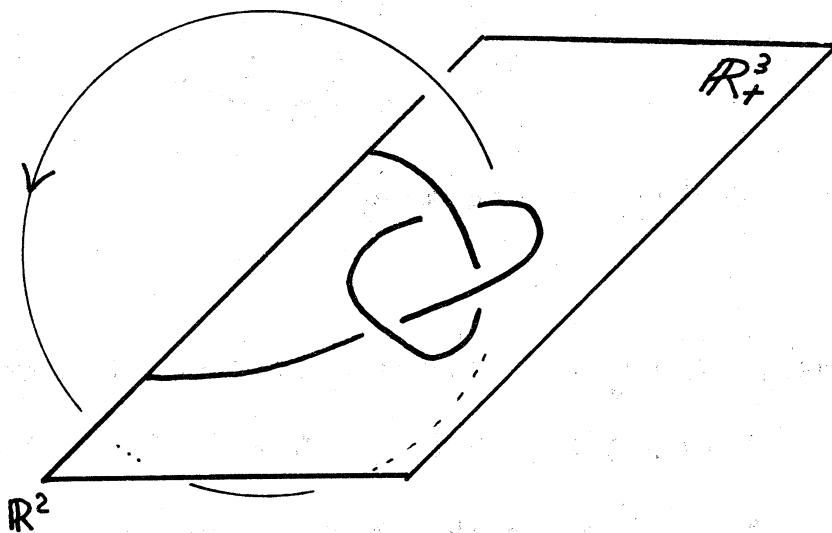
# Twisting and Rolling

神大理. 寺垣内 政一  
(Masakazu Teragaito)

§1. 1-knot から何らかの operation で得られる 2-knot を考える:

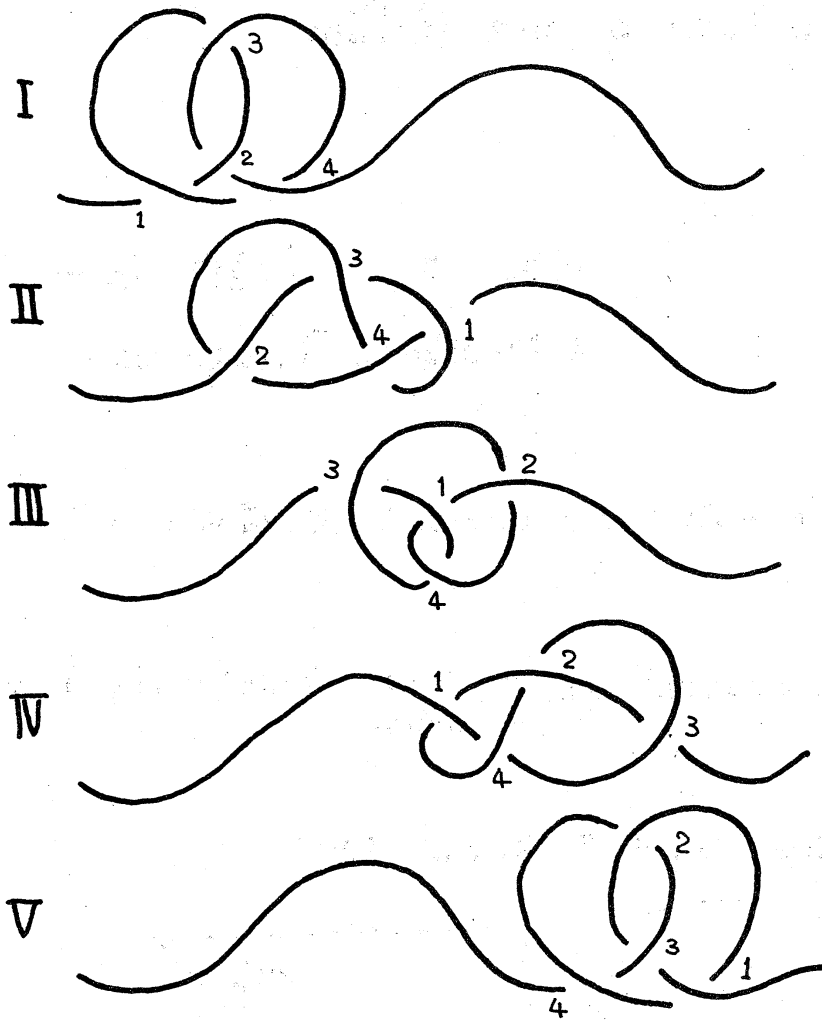
1-knot (knotted arc)  $\xrightarrow{\text{operation}}$  2-knot (locally flat)

Examples. (i) Spinning (E. Artin 1925)



(ii) Twist - spinning (R.H. Fox, E.C. Zeeman 1965)

(iii) Roll-spinning ( R.H.Fox 1965 )



Fox's roll-spun  
figure-eight  
knot

--- rolling a stocking ---

Twisting, rolling は、spinning process に knotted arc の "motion" を組みあわせたものである。Fox は上図で得られる 2-knot が、figure-eight knot の twisting では得られないことを、1-st elementary ideal の  $\mathbb{R}$  分体への表現を

用いて示した。しかし、rolling の厳密な定義は与えていない。  
後に、Fox's roll-spun figure-eight knot が trefoil の twisting  
では得られる (実は 3-twist-spun trefoil) ことを示す。

§2. Litherland はこれらを含む deform-spinning を  
定義した。

Definition. (R.A. Litherland 1979)

$(B^3, \beta)$  : (locally flat) ball pair ( $\beta \cong B^1$ ,  $\partial\beta = \beta \cap \partial B^3$ )

$\forall g : (B^3, \beta) \xrightarrow{\cong} (B^3, \beta)$  with  $g|_{\partial B^3} = \text{id}$

$P(g) \stackrel{\text{def}}{=} \partial(B^3, \beta) \times B^2 \cup_{\beta} (B^3, \beta) \times_{\beta} \partial B^2$

この時、 $P(g)$  は locally flat sphere pair で、 $g$  の rel  $\partial B^3$   
isotopy class にのみ依存する。

$H(B^3, \beta) = \{g \text{ ; as above } \} : \text{group}$

$D(B^3, \beta) = H(B^3, \beta) / \text{isotopy rel } \partial B^3 : \text{deformation group}$   
of  $(B^3, \beta)$

$D(B^3, \beta) \ni \gamma$  (deformation と呼ぶ)  $g$  :  $\gamma$  の代表元

$\gamma(\beta) \stackrel{\text{def}}{=} P(g)$  とし、knot  $\gamma(\beta) \in \beta$  の  $\gamma$ -spin と呼ぶ。

knotted arc の "motion"  $\in$  mapping torus  $(B^3, \beta) \times_{\beta} \partial B^2$   
の形ではその monodromy に吸収してあるわけである。



$\tau \in \mathcal{D}(S^3, K)$  :  $\tau$  の class

$K$  の  $\tau^m$ -spin  $\xi$  ,  $K$  の  $m$ -twist-spin  $\epsilon$  といふ。

$$\left( \begin{array}{l} \text{quotient map } \mathbb{R}^1 \rightarrow S^1 \text{ by } \theta \rightarrow \bar{\theta} \\ (\bar{\theta} = \bar{\varphi} \iff \theta - \varphi \in \mathbb{Z}) \\ \text{に } \delta, \tau \text{ } S^1 \text{ } \xi \text{ parametrize して } \text{い} \text{う} \text{。} \end{array} \right)$$

Example 2. Rolling.

$r : (S^3, K) \xrightarrow{\cong} (S^3, K)$  by

$$\left\{ \begin{array}{l} r(\bar{x} \times \bar{\theta} \times \varphi) = (\overline{x+\varphi}) \times \bar{\theta} \times \varphi \\ \quad (\bar{x} \times \bar{\theta} \times \varphi \in K \times \partial D^2 \times I) \\ r(\xi) = \xi \quad (\xi \in \partial X \times I) \end{array} \right.$$

$\rho \in \mathcal{D}(S^3, K)$  :  $\rho$  の class

$K$  の  $\rho^l$ -spin  $\xi$  ,  $K$  の  $l$ -roll-spin  $\epsilon$  といふ。

Fox's original idea との対応を詳しく述べてみる。つまりは「  
いかに、knotted arc の motion  $\xi$  , exterior の collar 内で  
吸収してゐるにすぎない。

Example 3. Symmetry-rolling.

$(S^3, K)$  ; order  $n \neq 0$  の symmetry  $g \in \xi$  。

すなわち,  $g: (S^3, K) \xrightarrow{\cong} (S^3, K)$  ; period  $n$

$\text{Fix}(g) = \text{unknotted circle } J, J \cap K = \emptyset$

$\pm z. S^3/g = S^3 \bar{c}, d: S^3 \rightarrow S^3$  ; quotient map  
に射して,  $\bar{K} = d(K), \bar{J} = d(J)$  とおく。

$lk(\bar{K}, \bar{J}) = lk(K, J) = j$  は,  $n$  と素である。

$K \times D^2$  は,  $\bar{K} \times D^2$  の  $n$ -fold cyclic cover となり, これは

$$d(\bar{x} \times \nu) = \overline{n\bar{x}} \times \nu \quad (\bar{x} \times \nu \in K \times D^2)$$

で与えられる。従って,  $g^j|_{K \times D^2}$  は canonical covering transformation を与える。

$$\bar{x} \times \nu \rightarrow \overline{(x + \frac{1}{n})} \times \nu$$

で表せる。  $jk \equiv 1 \pmod{n}$  なる  $k \in \mathbb{Z}$  とする。

$$g = g^{jk}; \bar{x} \times \nu \rightarrow \overline{(x + \frac{k}{n})} \times \nu \quad (\bar{x} \times \nu \in K \times D^2)$$

ここで,  $s': (S^3, K) \xrightarrow{\cong} (S^3, K)$  by

$$\begin{cases} s'(\bar{x} \times \bar{\theta} \times \varphi) = \overline{(x - \frac{k(1-\varphi)}{n})} \times \bar{\theta} \times \varphi & (\bar{x} \times \bar{\theta} \times \varphi \in K \times \partial D^2 \times I) \\ s'(\bar{x} \times \nu) = \overline{(x - \frac{k}{n})} \times \nu & (\bar{x} \times \nu \in K \times D^2) \\ s'(z) = z & (z \in X - (\partial X \times I)) \end{cases}$$

とすると,  $s' \circ g|_{K \times D^2} = \text{id}, s' \circ g|_{\overline{X - (\partial X \times I)}} = g$  .

こうして,  $\sigma_{g,K} \in \mathcal{D}(S^3, K) \in s' \circ g$  の class とする。

(定義より、 $n=1$ ,  $g = \text{id}$ ,  $J$  を任意にとると、rolling に帰着し、 $\sigma_{g,k} = \rho^k$  である。)

Litherland は、 $(S^3, K)$  に対して、その knot group  $G$  の peripheral subgroup を固定する  $G$  の自己同型全体のなす群  $\text{Aut}_0 G$  が、 $\mathcal{D}(S^3, K)$  と同型であることを示し、代数的議論から次のことを示した。

Theorem  $(S^3, T_{p,q})$  :  $(p,q)$ -type torus knot

$$\mathcal{D}(S^3, T_{p,q}) = \langle \tau \rangle \cong \mathbb{Z}, \quad \tau^{pq} \rho = 1.$$

定理は、torus knot に対する deformation が本質的に、twisting のみであることを意味する。

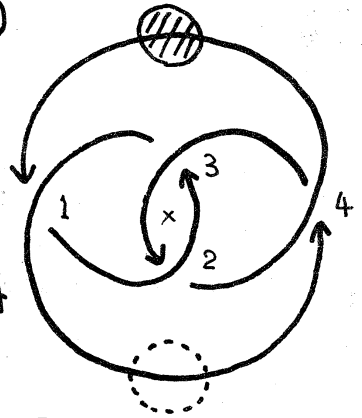
本稿では、この定理をふまえて、torus knot に対する rolling, symmetry rolling を“視覚的”に分析する。

§3. rolling, symmetry rolling を knotted arc の“motion”で扱いたい。Litherland の定義が示唆するように、rolling は、 $(S^3, K)$  からとりのどかれる standard ball pair が knot の orientation (parametrization による) に従って、knot 上を流れていくことを、complementary ball pair 内の arc の

motion を相対的に表現したものといえる。(Litherland はさらにこの流れを exterior に吸収した。)

前述の Fox's roll-spun figure eight の  $\square$

で、standard ball pair が  $i$ -th crossing を通過することに対応して、 $i$ -th crossing を "送る" motion が生じている。

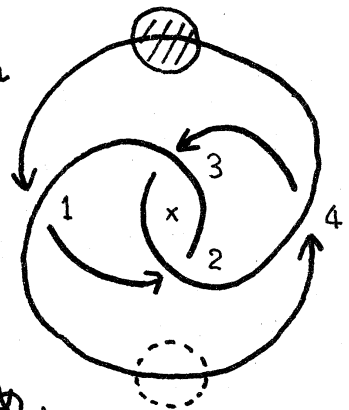


$1 \rightarrow 2 \rightarrow 3 \rightarrow 1$  の順に crossing が送られている

から、Litherland の意味の roll-spun では  $\tau^2$  half-rolling である: Fox's roll-spun figure eight =  $\sigma_{g,1}$  (figure eight)

こうして rolling の motion を任意の knot に対して描くことができる。ただし一般には、meridian 方向のねじれを考慮する必要がある。

例えば trefoil の場合、standard ball pair が  $1 \rightarrow 2 \rightarrow 3 \rightarrow 1$  の順に crossing を通過すると、meridian 方向に 2 周するため、

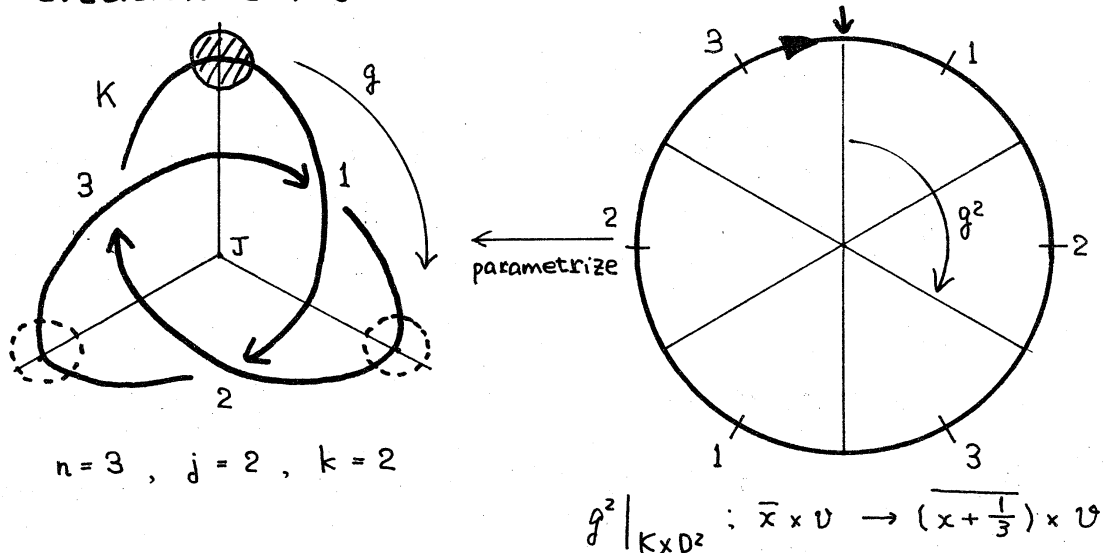


対応する deformation は  $\tau^2 \sigma_{g,1}$  である。(  $\tau$  の定義より、meridian 方向に arc を回転することは  $\tau^{-1}$  に対応している。)

さて、 $l$ -roll  $\rho$  は standard ball pair が knot に沿って  $l$  周することに対応する。この観点から、 $\sigma_{g,k}$  を " $\rho^{\frac{k}{n}}$ " と



考えることが自然である; knot に symmetry に応じた parametrization を与えておく。



standard ball pair が.  $1 \rightarrow 2 \rightarrow 3 \rightarrow 1$  と crossing を通過することが  $\sigma_{g,2}$  だが (meridian 方向のねじれは無視しておく。) これは  $\rho^{\frac{2}{3}}$  と考える。同様に,  $1 \rightarrow 2$  に対応する  $\rho^{\frac{1}{3}}$  が定義できる。一般に,  $g^j$  は  $\rho^{\frac{j}{n}}$  に対応する。(§2 Example 3 の notation) deformation として厳密な定義は,  $\sigma_{g,k}$  と同様に行なえるが, ここではむしろ knotted arc の "motion" として定義する。

この notation を用いて, Litherland の定理から次のことがすくわかる。

Theorem 1  $D(S^3, T_{p,q})$  において.

$$\rho^{\frac{1}{p}} = \tau^{-q}, \quad \rho^{\frac{1}{q}} = \tau^{-p}$$

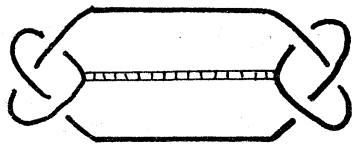
Remark.  $T_{p,q}$  ( $0 < p < q$ ) の periods は  $p, q$  の素数である。

§4. Moving picture method により, Thm 1 を証明する。

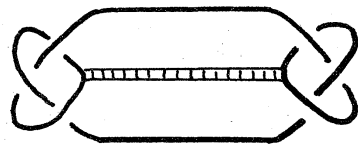
$\mathbb{R}^4 = \mathbb{R}^3 \times \mathbb{R}$  内の hyperplanes  $\mathbb{R}^3[t] = \mathbb{R}^3 \times \{t\}$  による cross sections

をみる。簡略のため, equatorial cross section ( $t=0$ ) 及び

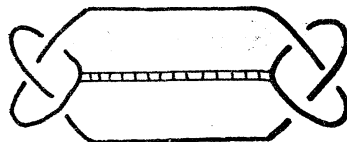
$t = \pm 1$  level の critical bands を示している。



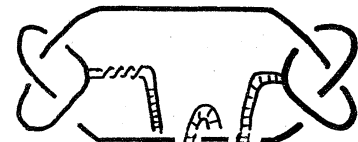
$t=1$



$t=0$



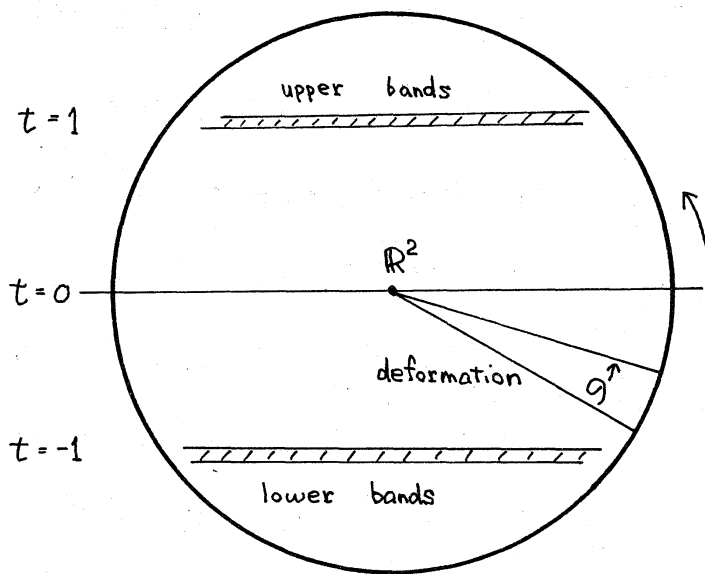
$t=-1$



$\tau^0$  (trefoil)

$\tau^{-2}$  (trefoil)

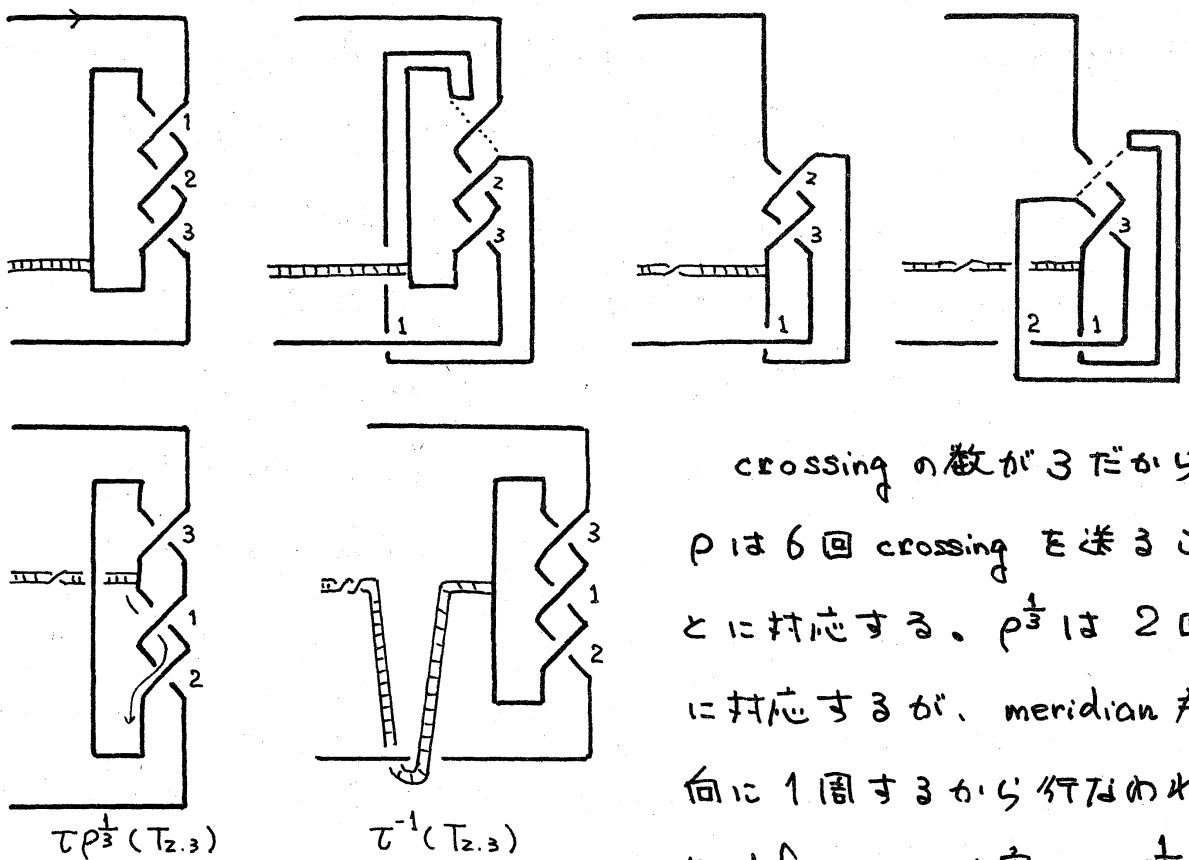
$\tau^0$ -spinning に対しては, original knotted arc の  $\mathbb{R}^3$  内の minimal points に対して bands が生じる。一般の deformation に対しては次の様に考える; spinning process において, lower bands の生じた後に deformation を行なう。次に,



deformation に従って cellular move で lower bands をひきあげる。こうして, deformation の情報を lower bands のみに集めることができる。形式的には, bands

を伴ったまま deformation - arc motion を行なえば, 望む bands が得られる。例えば  $\tau^2$  (trefoil) は先の図に示した lower band を持つ。(詳細は金信氏の論文を御覧下さい。)

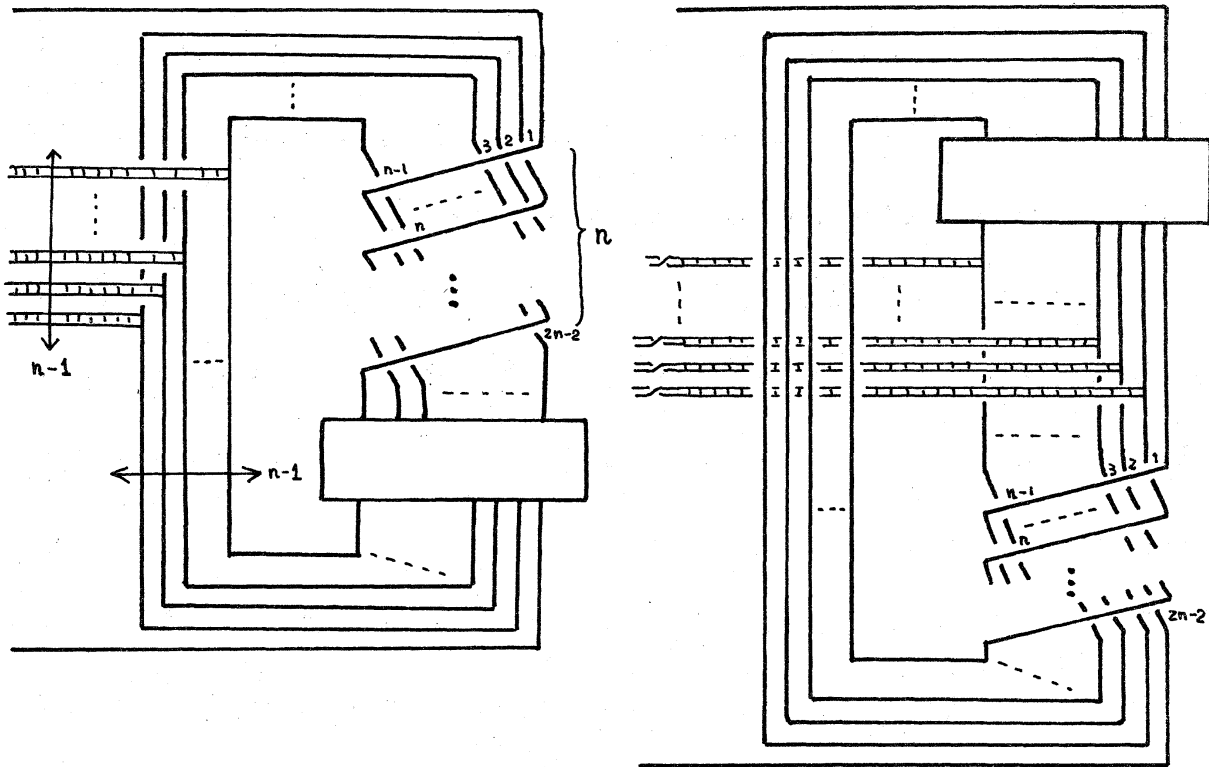
さて Thm 1 を証明する。まず,  $T_{2,3}$  に対して  $\rho^{\frac{1}{3}}(T_{2,3}) = \tau^{-2}(T_{2,3})$  を示す。ここでの等号の意味は, 2-knot として same type であることだが, Litherland の定理とあわせて deformation として一致することがわかる。



crossing の数が3だから  
 $\rho$  は 6 回 crossing を送るこ  
 とに対応する。  $\rho^{\frac{1}{3}}$  は 2 回  
 に対応するが、meridian 方  
 向に 1 周するから行なわれ  
 た deformation は実は  $T\rho^{\frac{1}{3}}$

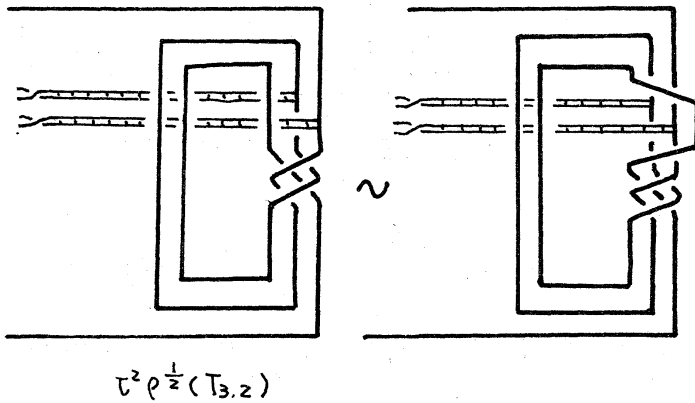
である。しかしその lower band は、twisting band であるこ  
 とがわかる。従って  $T\rho^{\frac{1}{3}}(T_{2,3}) = T^{-1}(T_{2,3})$  i.e.  $\rho^{\frac{1}{3}}(T_{2,3})$   
 $= T^{-2}(T_{2,3})$  である。同様に、3-rd crossing の部分を  
 $(p-2)$  half twists でおきかえることで、 $\rho^{\frac{1}{p}}(T_{2,p}) = T^{-2}(T_{2,p})$   
 $(p \geq 3)$  を得る。

一般に  $T_{n,p}$  ( $p \geq n+1$ ) に対して、 $\rho^{\frac{1}{p}}(T_{n,p}) = T^{-n}(T_{n,p})$   
 を示すには  $T_{n,n+1}$  について考之れば十分である。次図のよ  
 うに  $T_{n,p}$  の projection をみる。crossing は  $(n-1) \cdot p$  個あるか  
 ら、 $\rho$  は  $2(n-1) \cdot p$  回、 $\rho^{\frac{1}{p}}$  は  $2(n-1)$  回 crossing を送ること

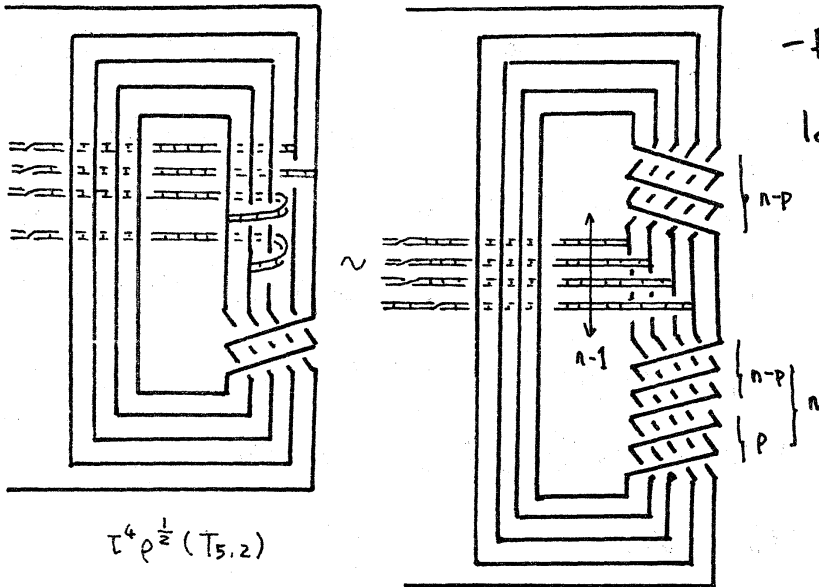


に対応する。meridian 方向に  $(n-1)$  周するから、deformation  $\tau^{n-1} \rho^{\frac{1}{2}}$  である。さて  $T_{2,3}$  の場合と同様に、arc motion を行ない、た後 arc を元の形に整える と、lower bands は上図右のようになる。内側の band から順に下へ slide させて引き出すと、 $\tau^{-1}$  に相当する bands であることがわかる。従って  $\tau^{n-1} \rho^{\frac{1}{2}}(T_{n,p}) = \tau^{-1}(T_{n,p})$  i.e.  $\rho^{\frac{1}{2}}(T_{n,p}) = \tau^{-n}(T_{n,p})$  を得る。(一般に扱う必要があるから、motion を行なう間及び arc を元の形に整える時、bands はできるだけ動かしたくない。arc の形を復元することが優先する。その際、新たに crossing を作ることは許されない。)

次に、 $T_{n,p}$  ( $n > p$ ) に対し  $\rho^{\frac{1}{2}}(T_{n,p}) = \tau^{-n}(T_{n,p})$  を示す。先と同様に、crossing が  $(n-1)p$  個の projection において、 $\rho^{\frac{1}{2}}$  は  $2(n-1)$  個の crossings を送る motion に対応する。しかし meridian 方向に  $(n-1)$  回送るから、対応する deformation は  $\tau^{n-1}\rho^{\frac{1}{2}}$  である。従って、motion によって生じる lower bands が先と同様に、 $(-1)$ -twisting bands であることをみればよい。

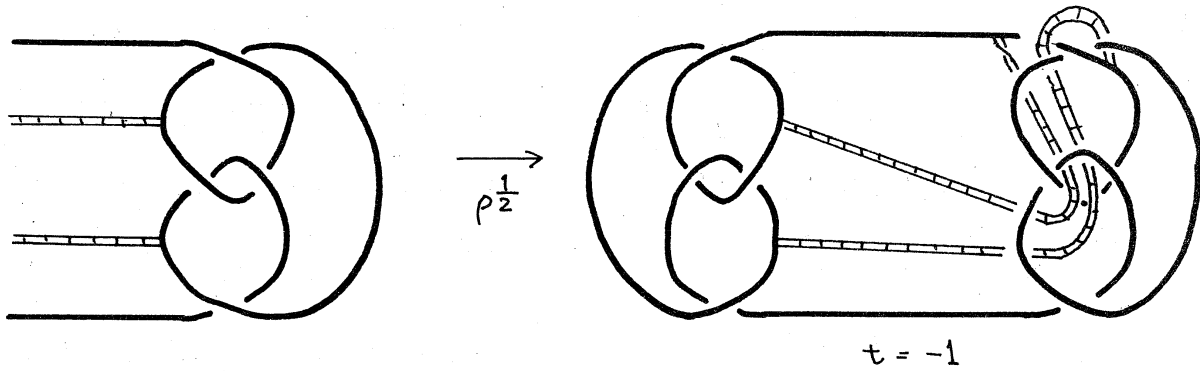


bands は少し違、てい  
るが、図のようにして  
やると  $T_{n,p}$  ( $n < p$ ) の場  
合と同じく bands を下  
へ slide して、twisting  
bands である。

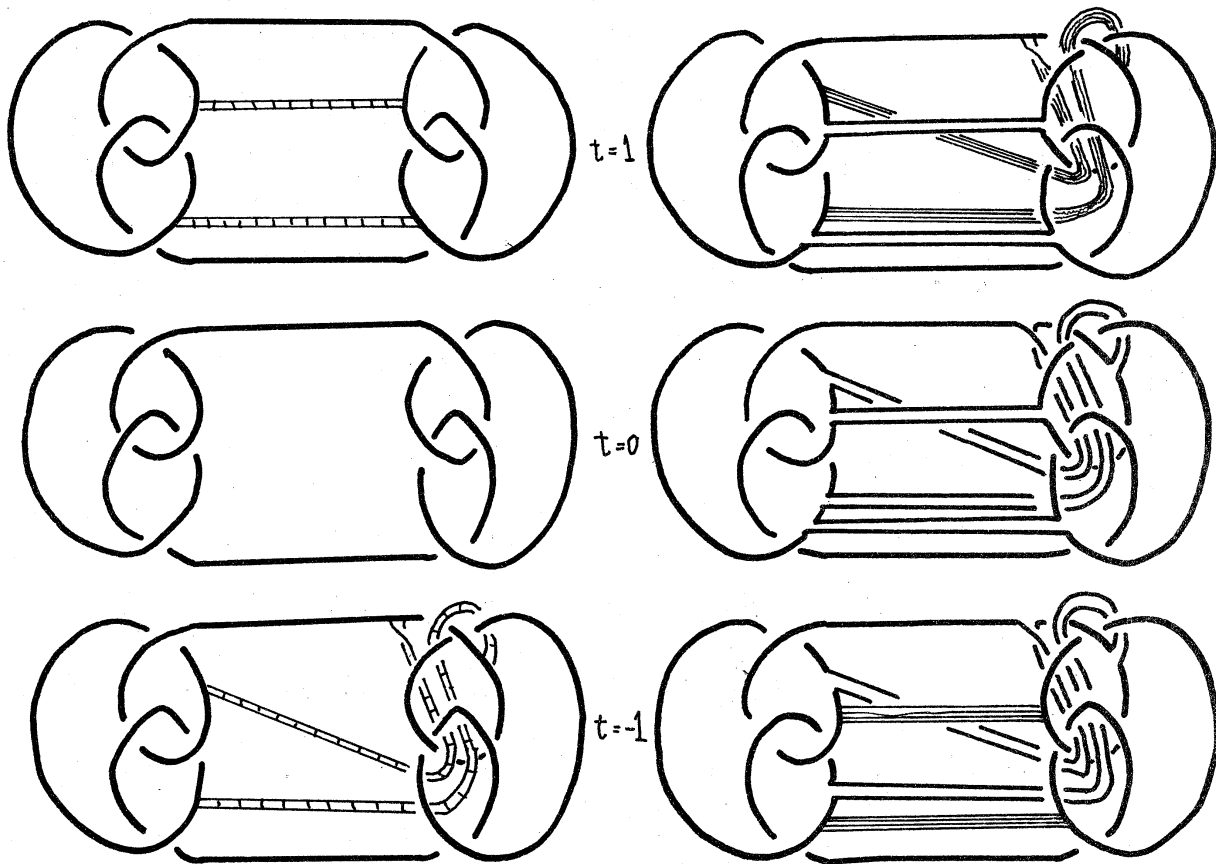


一般に、左図のようた  
lower bands とは  
(arc の復元後)  
 $n$  と  $p$  の差に関係  
する。

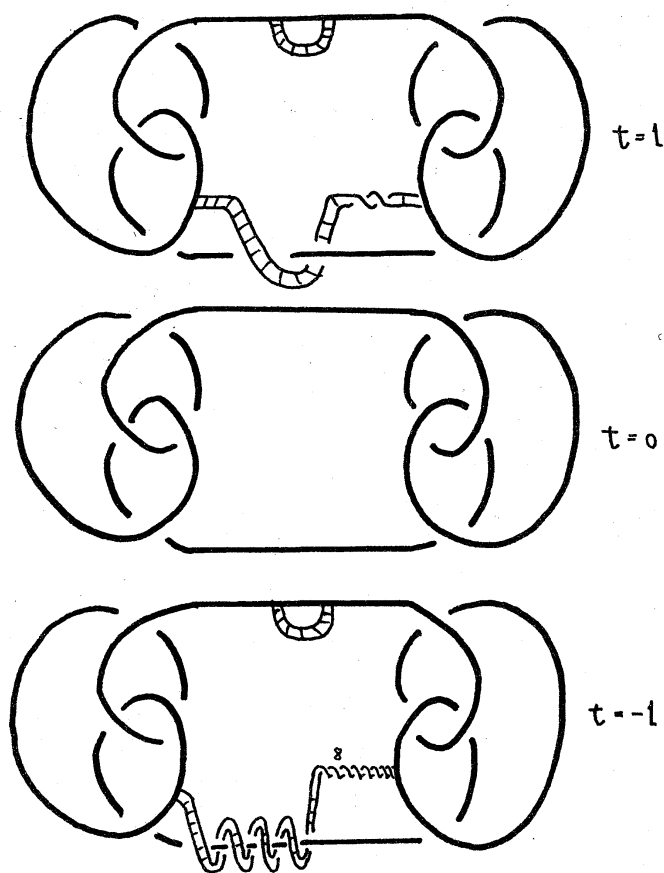
§5 最後は、Fox's roll-spun figure eight knot (i. e.  $\rho^{\frac{1}{2}}$  (figure eight) の 3-twist-spun trefoil であることを moving picture method により示す。



これは  $t = -1$  level にある lower bands である。



図のように upper bands と lower bands の level を入れかえる。そして  $\mathbb{R}^4$  の vertical-line-preserving ambient isotopy



により、左図になおせる。

さらに、upper band のからみを解消する  $v-l-p$  ambient isotopy を行なえば、deformation の情報を lower band に集めることができ、3-twisting band である。

こうして、

$$\rho^{\frac{1}{2}}(\text{figure-eight}) = \tau^3(\text{trefoil})$$

を得る。

これは、prism manifold  $M_{1,2} = (-1, (0,0); (2,1), (2,1), (2,1))$  を punc したものを fiber にもつ fibered 2-knot である。torus knot 以外の knot に対する deformation では、興味深い現象が様々起こるのだが、それについては稿を改めた。



## References

- Zeeman, E.C., 1965 : Twisting spun knots. Trans. Amer. Math. Soc., 115 (1965) 471 - 495
- Fox, R. H., 1966 : Rolling. Bull. Amer. Math. Soc., 72 (1966) 162 - 164
- Litherland, R.A., 1979 : Deforming twist-spun knots. Trans. Amer. Math. Soc., 250 (1979) 311 - 331
- Kanenobu, T., 1983 : Fox's 2-spheres are twist spun knots. Mem. Fac. Sci. Kyushu Univ., Ser. A., 37 (1983) 81 - 86